

1/20

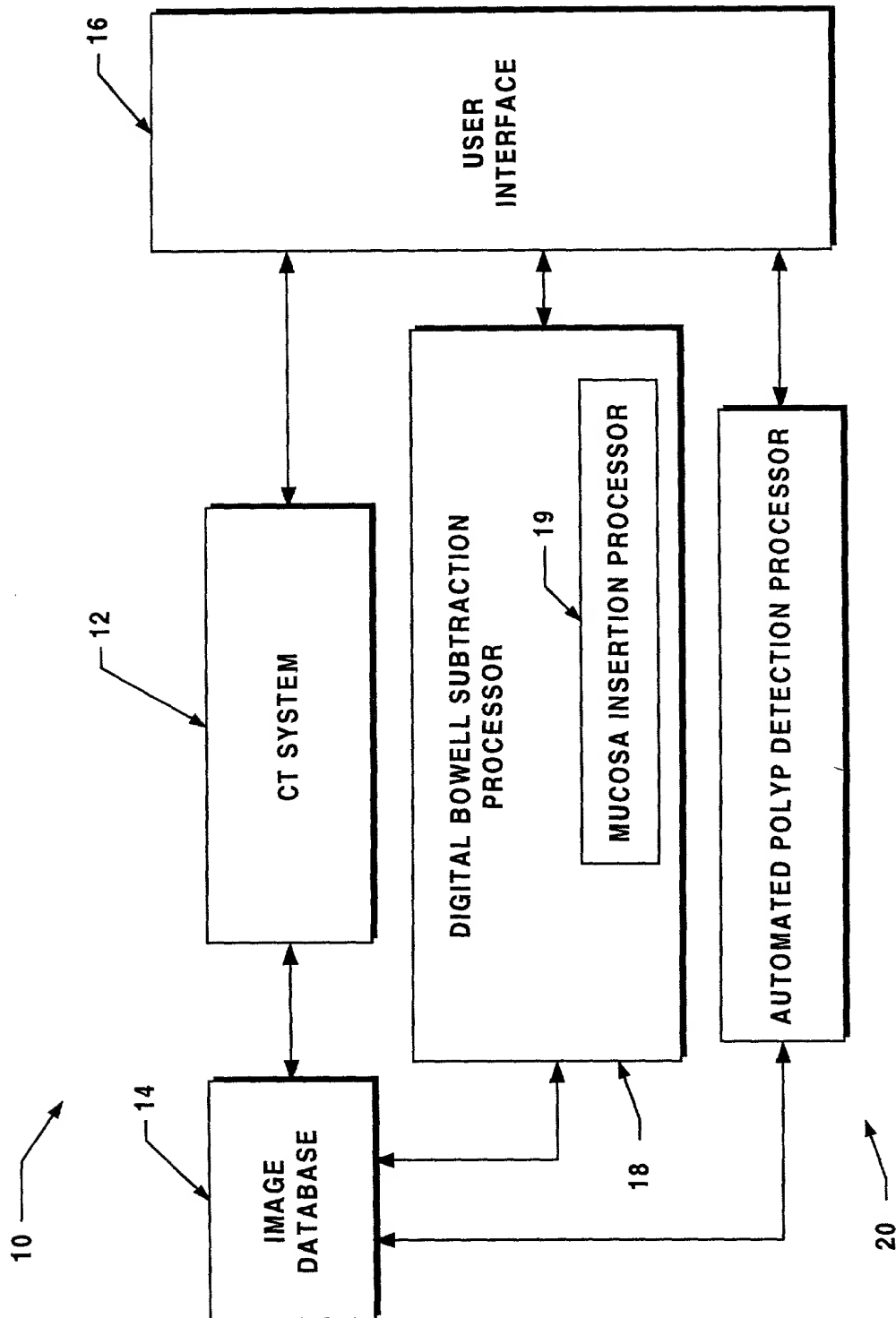
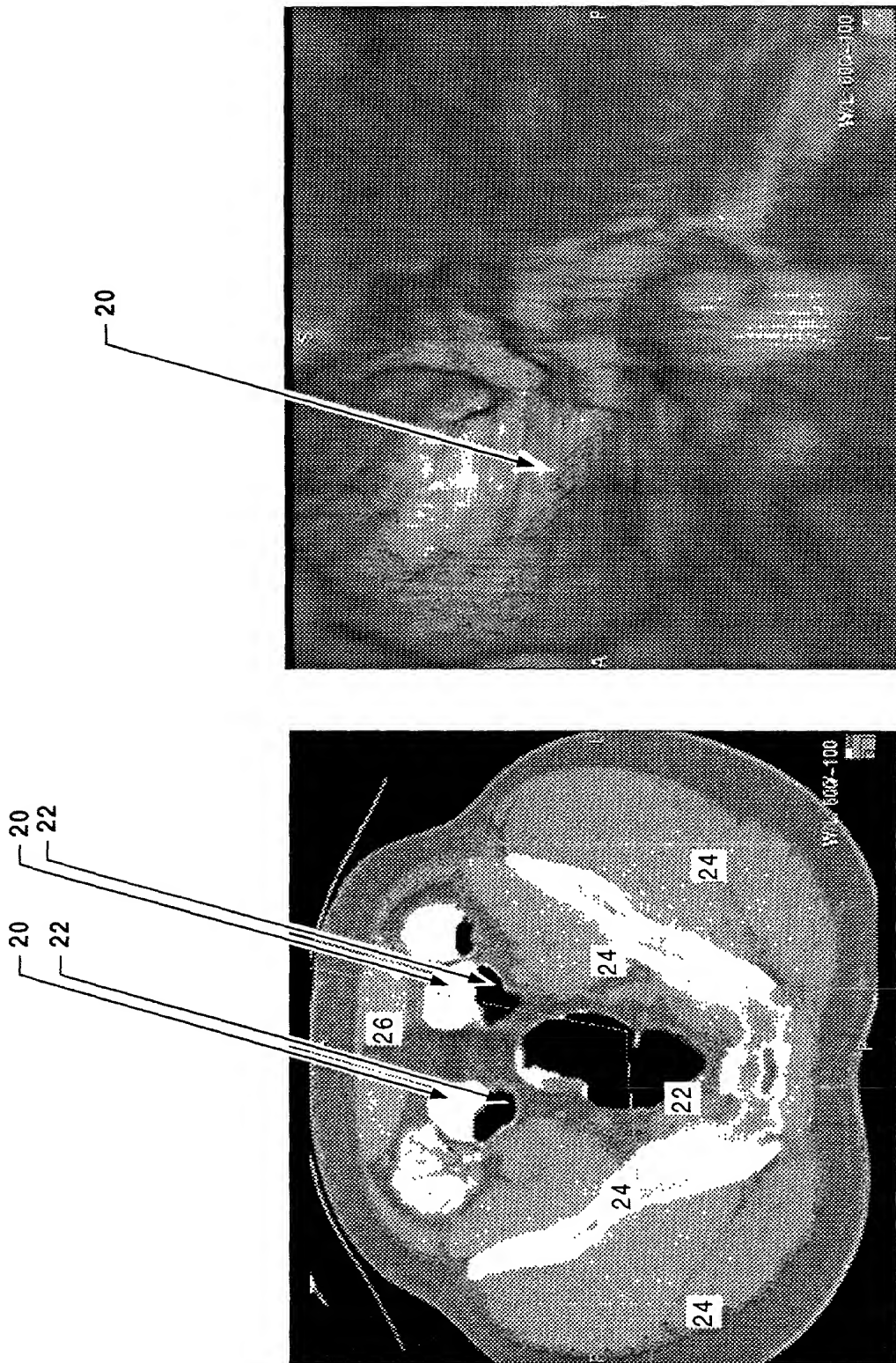
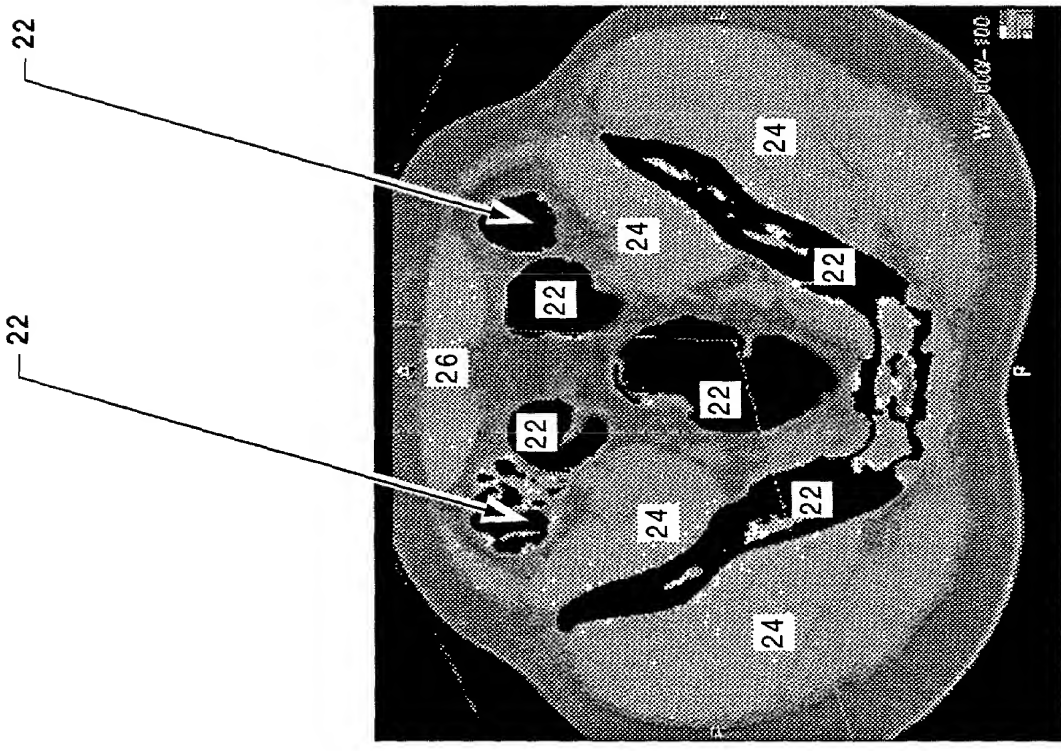


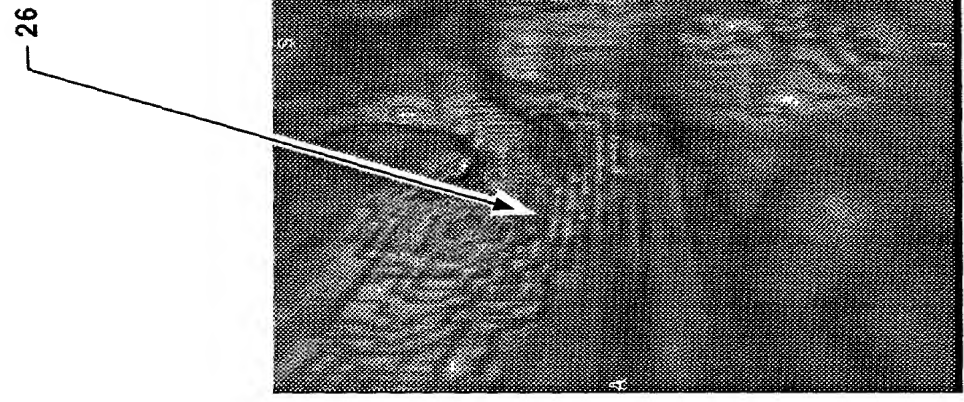
FIG. 1





19C

FIG. 1C



19D

FIG. 1D

4/20

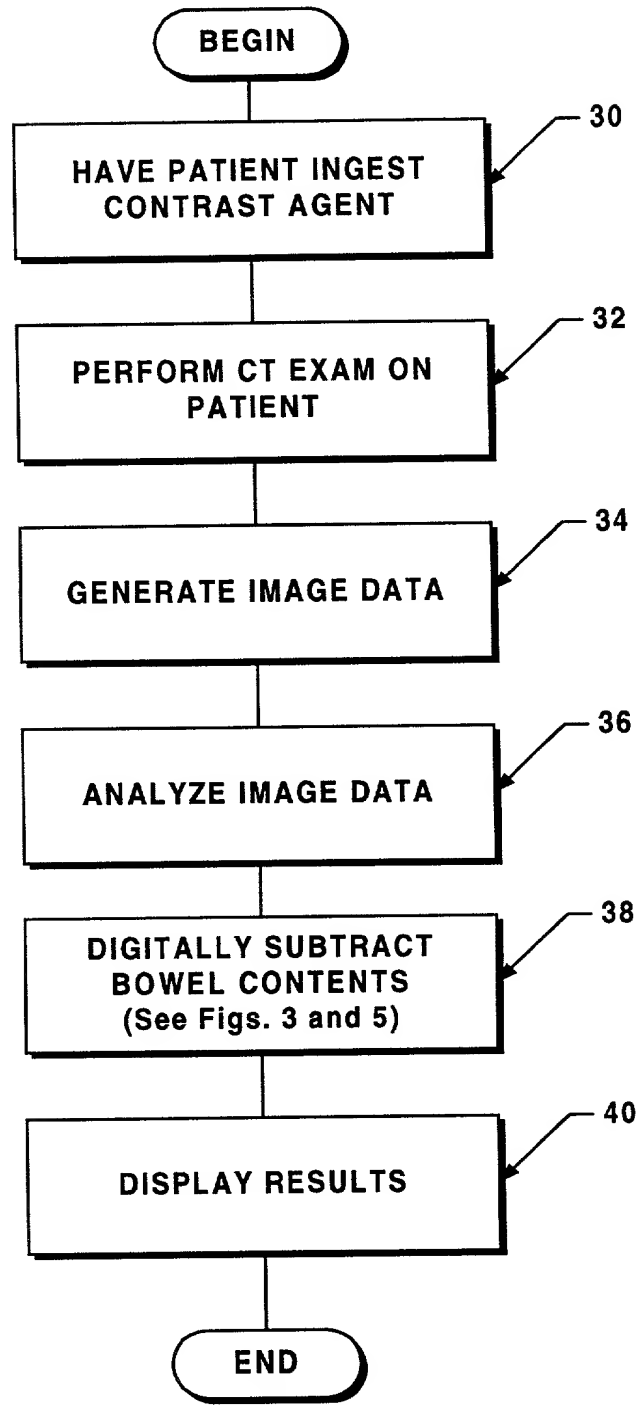


FIG. 2

5/20

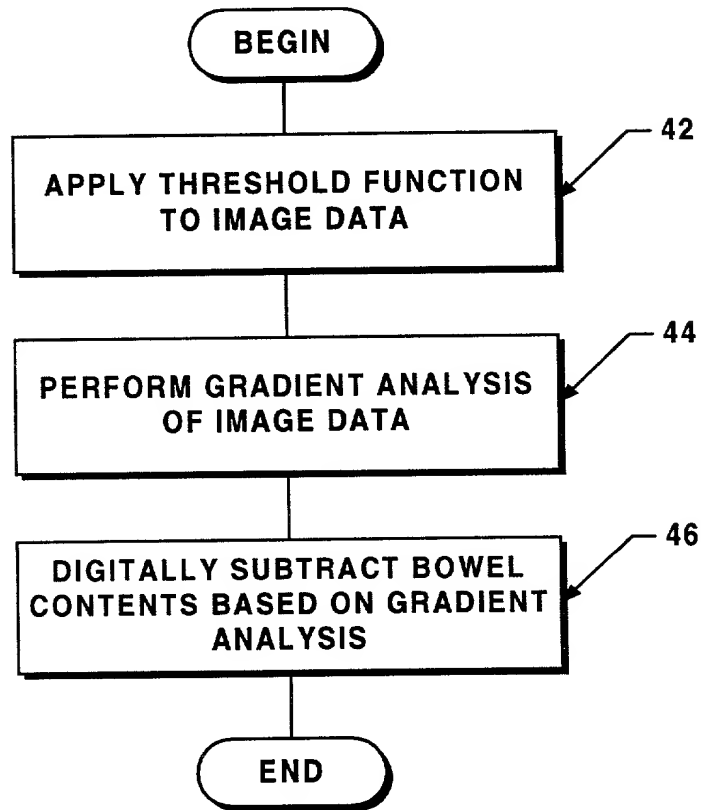


FIG. 3

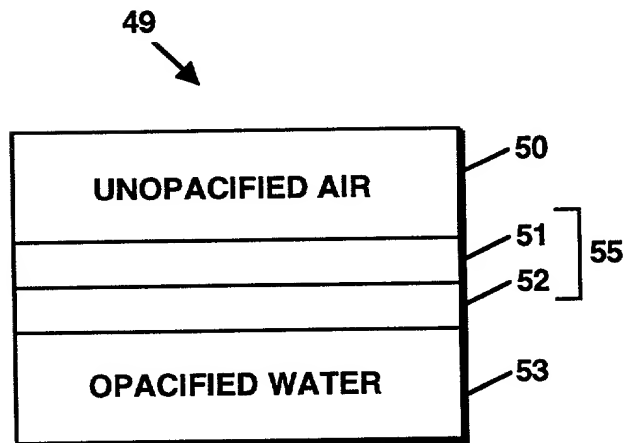


FIG. 4

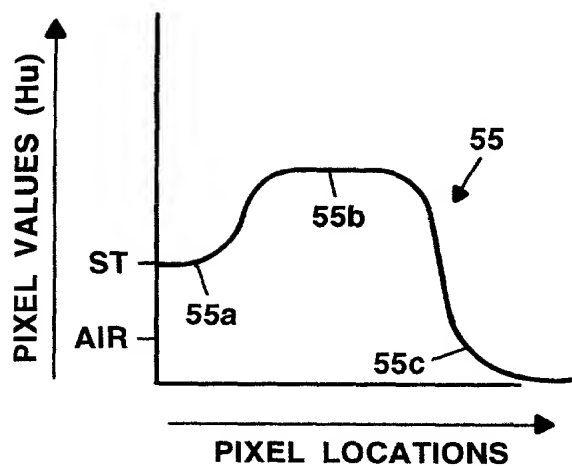


FIG. 4A

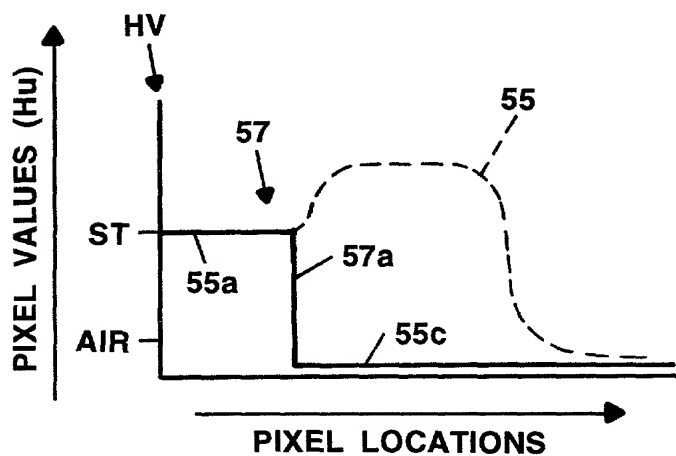


FIG. 4B

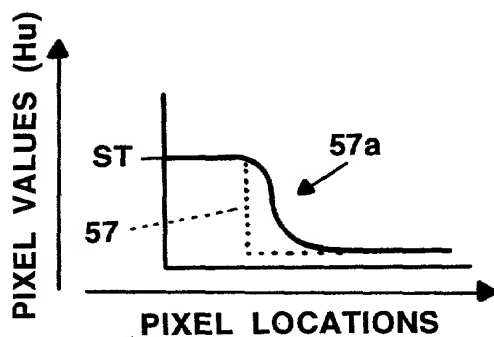


FIG. 4C

7/20

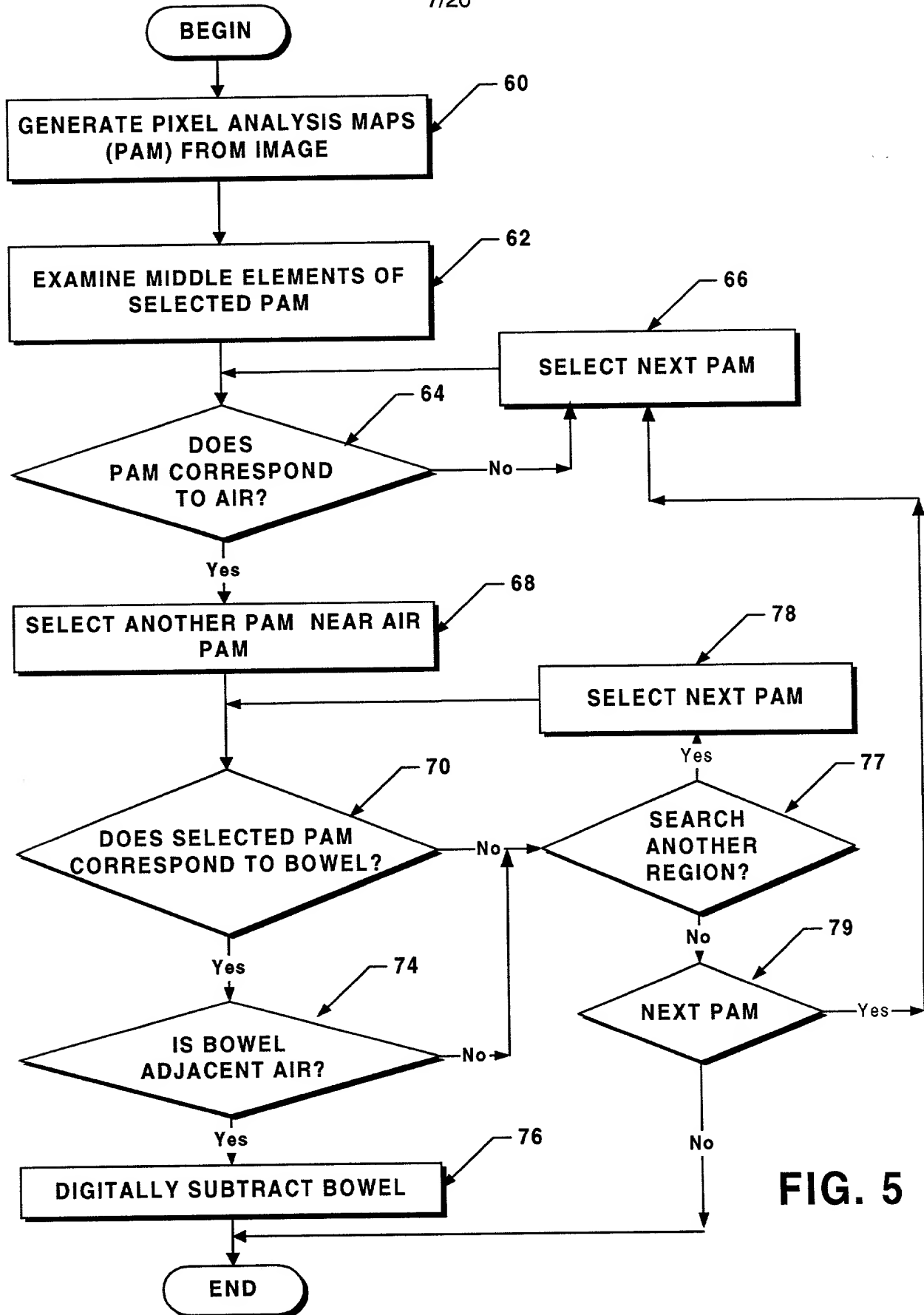


FIG. 5

FIG. 5A

9/20

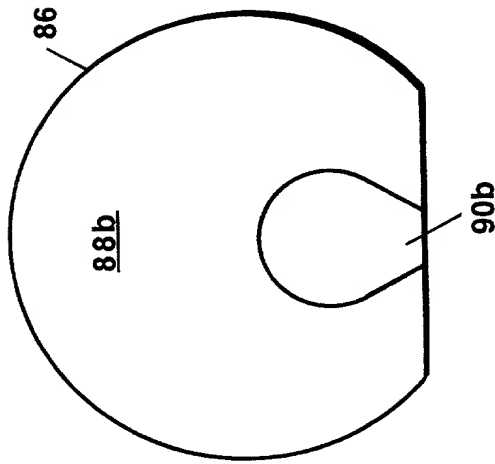


FIG. 5C

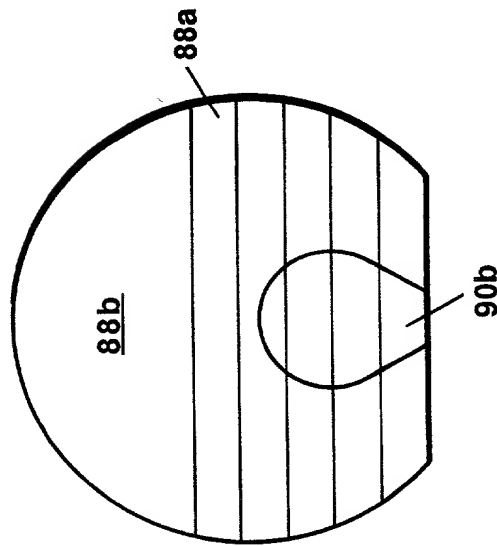




FIG. 5B

FIG. 5B

10/20

82' 

NW			NI		Nr		NE
	nw x	NL x	NI x	Nr X	nR x	ne x	
	Uw x	UL o	UI o	Ur o	UR o	Ue x	
uW	uw x	uL o	ul 91a	ur 91b	uR o	ue x	uE
IW	lw x	IL o	Il 91c	lr 91d	IR o	le x	IE
	Lw x	LL o	LI o	Lr o	LR o	Le x	
SW			SI	Sr			SE

92 

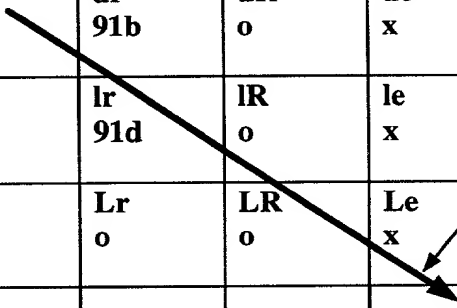


FIG. 5D

SYSTEM FOR DIGITAL BOWEL SUBTRACTION AND
POLYP DETECTION AND RELATED TECHNIQUES

Michael E. Zalis
MGH-005AUS

11/20

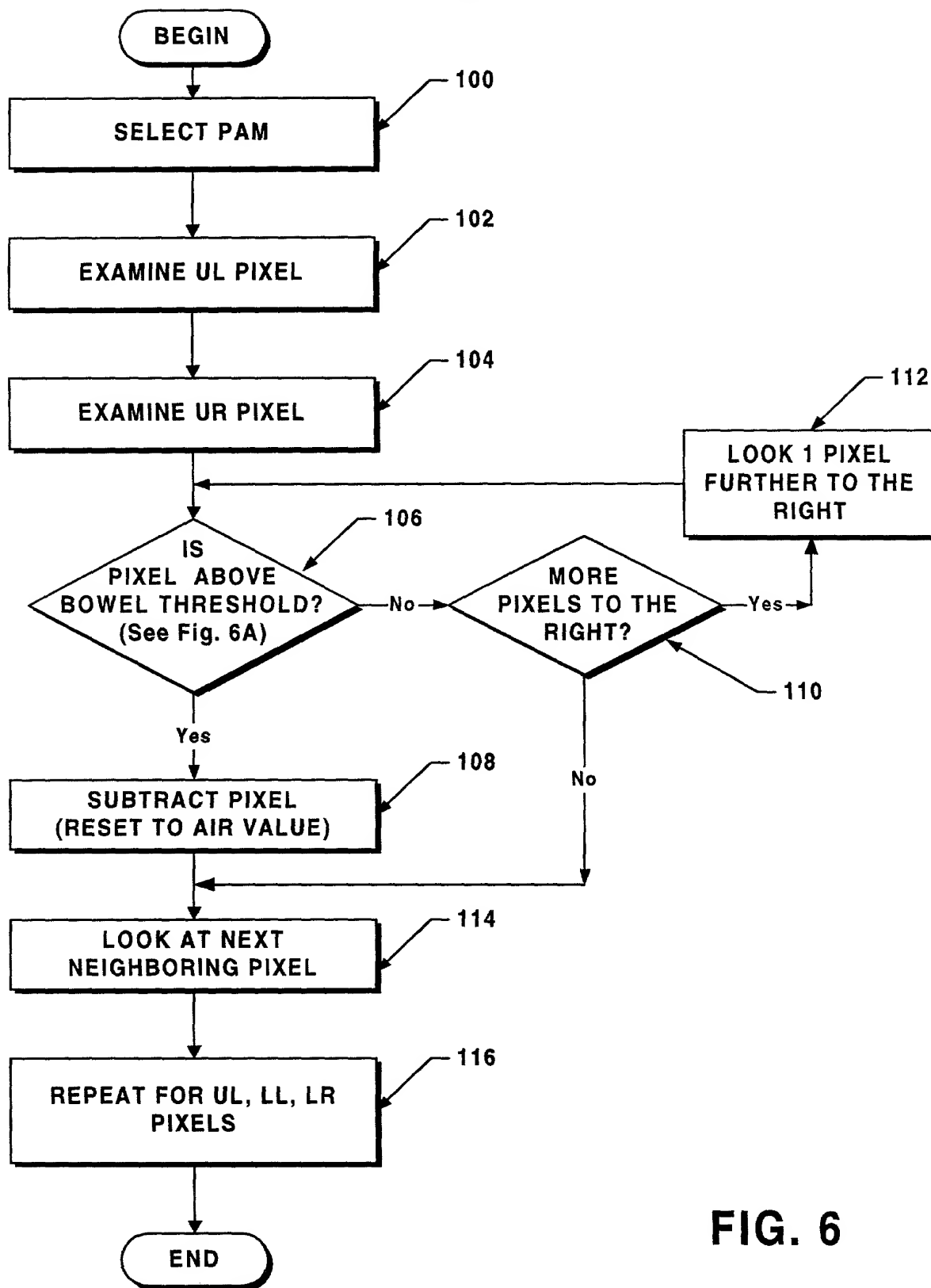


FIG. 6

12 / 20

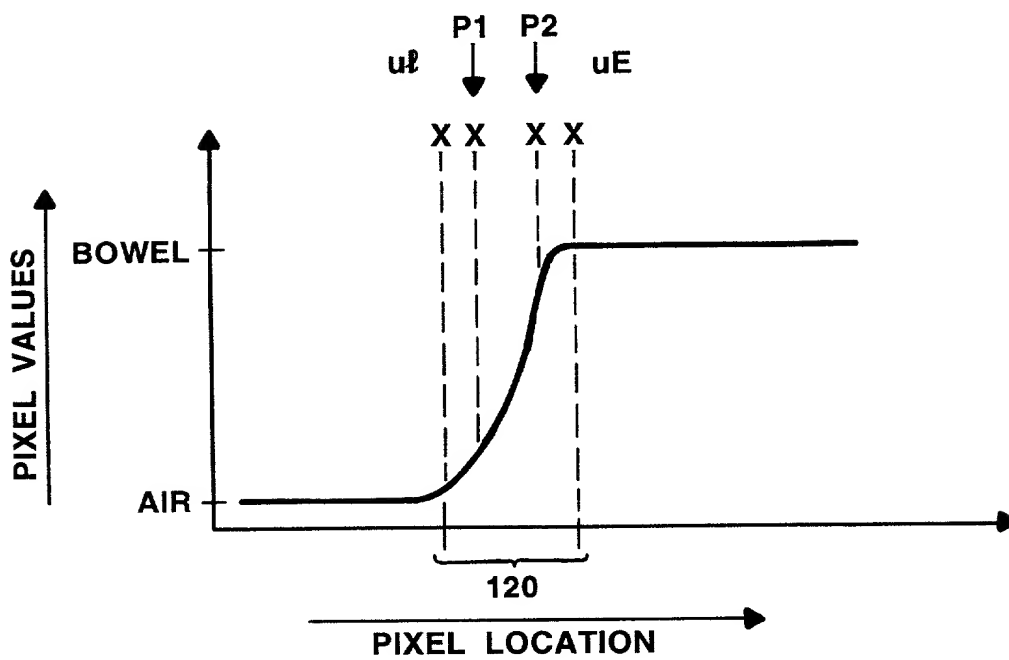


FIG. 6A

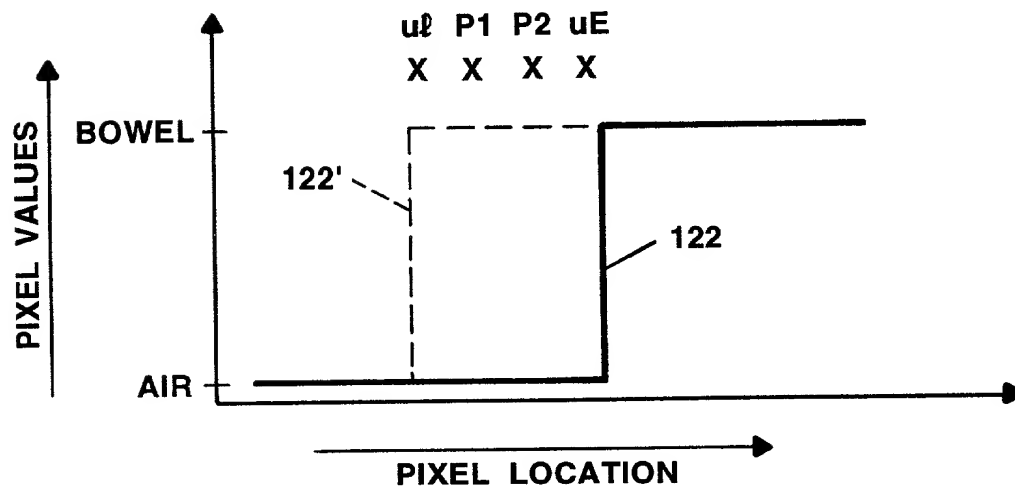


FIG. 6B

13/20

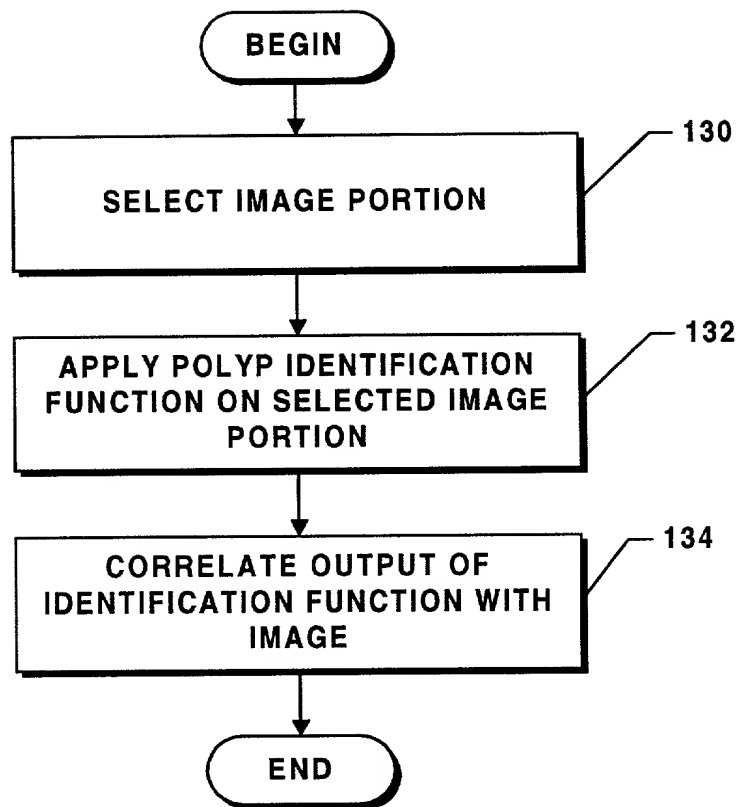


FIG. 7

14/20

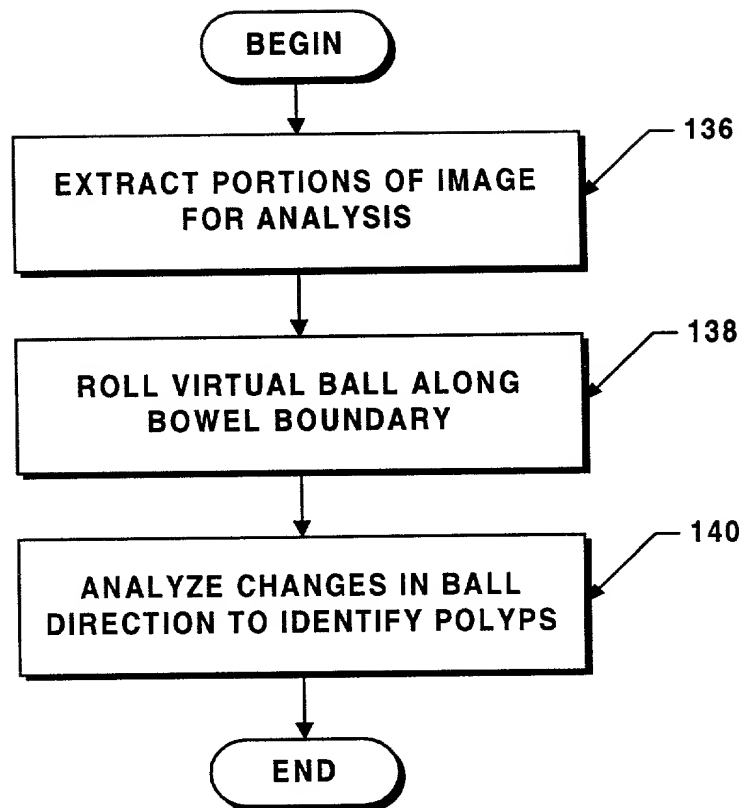


FIG. 8

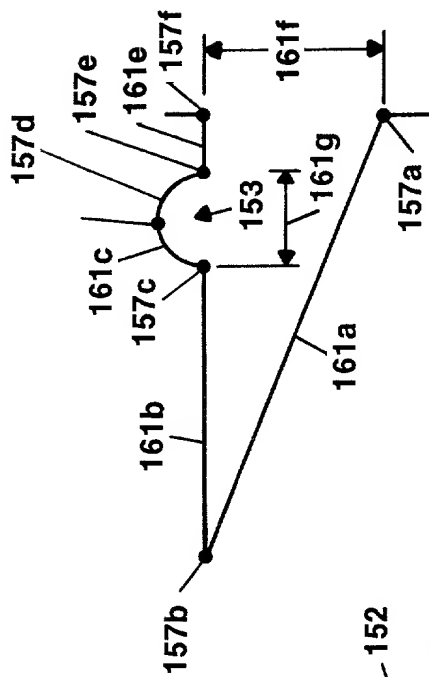


FIG. 8E

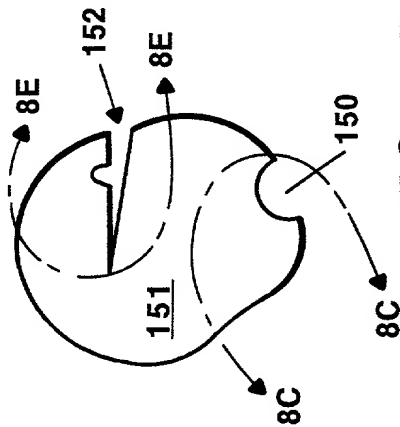


FIG. 8B

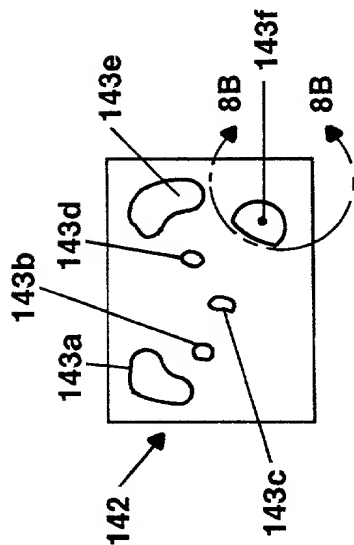


FIG. 8A

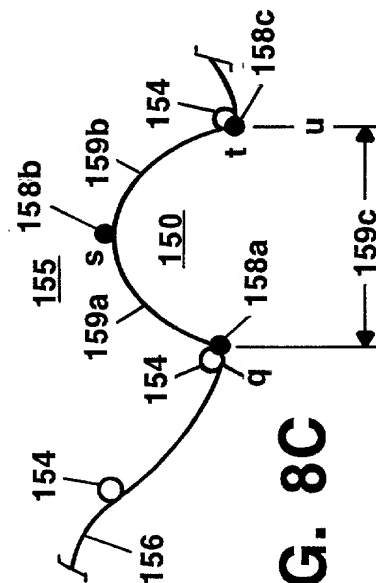


FIG. 8C

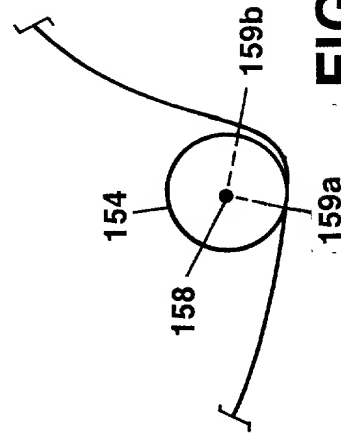


FIG. 8D

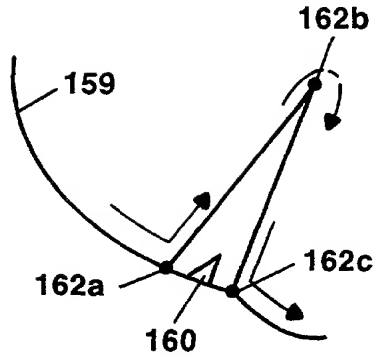


FIG. 8F

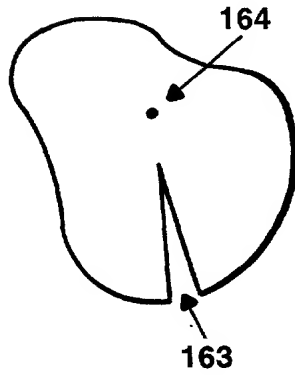


FIG. 8G

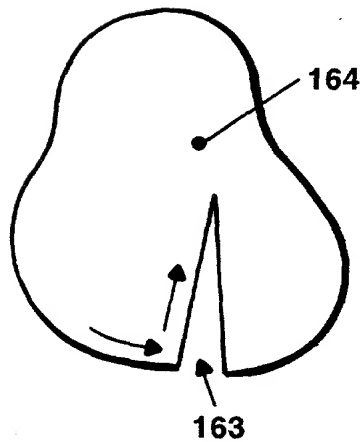


FIG. 8H

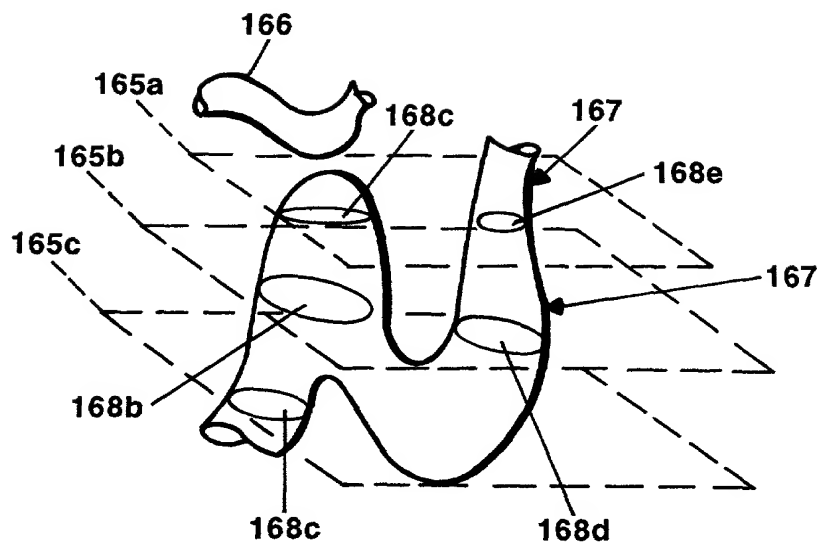


FIG. 8I

18 /20

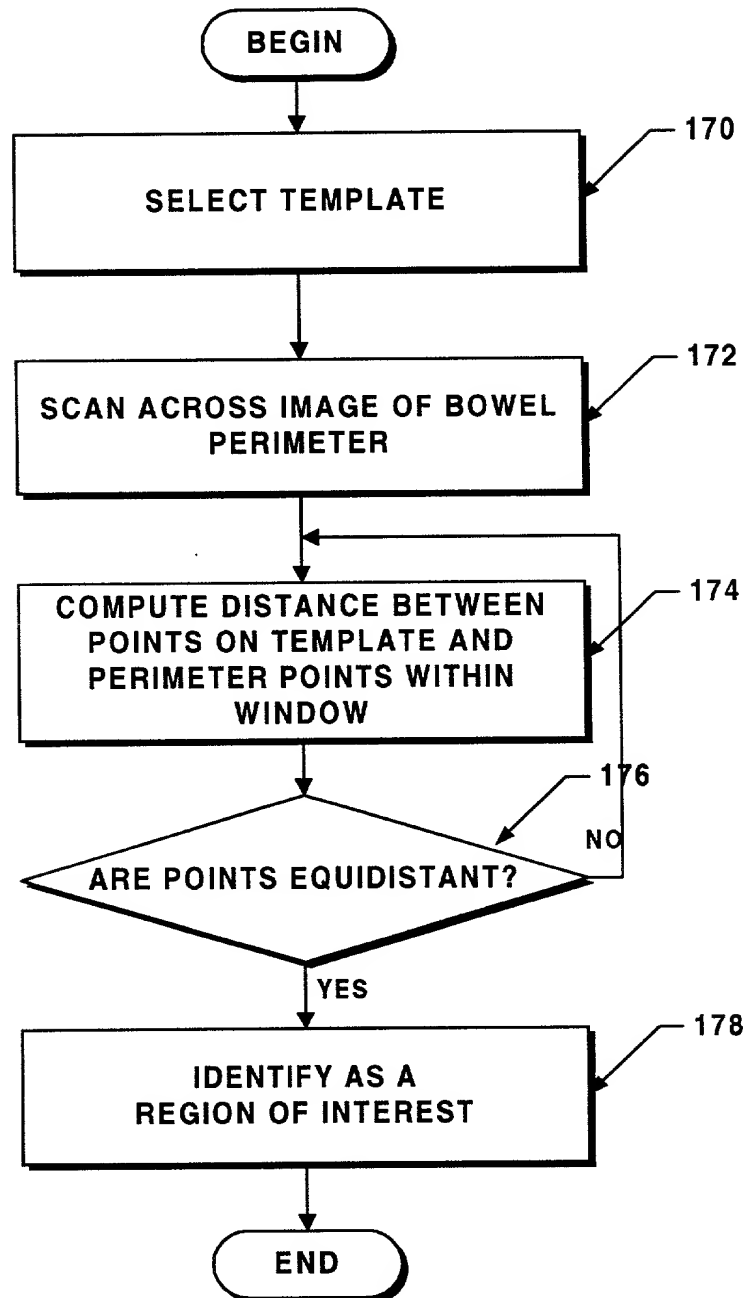


FIG. 9

19/20

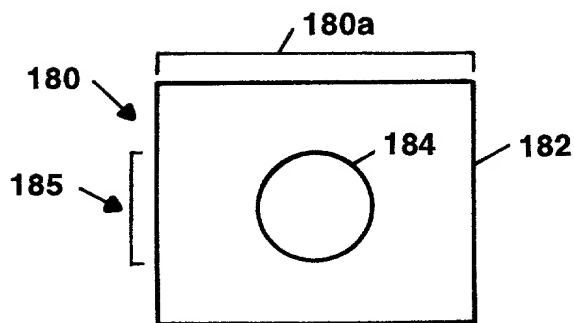


FIG. 9A

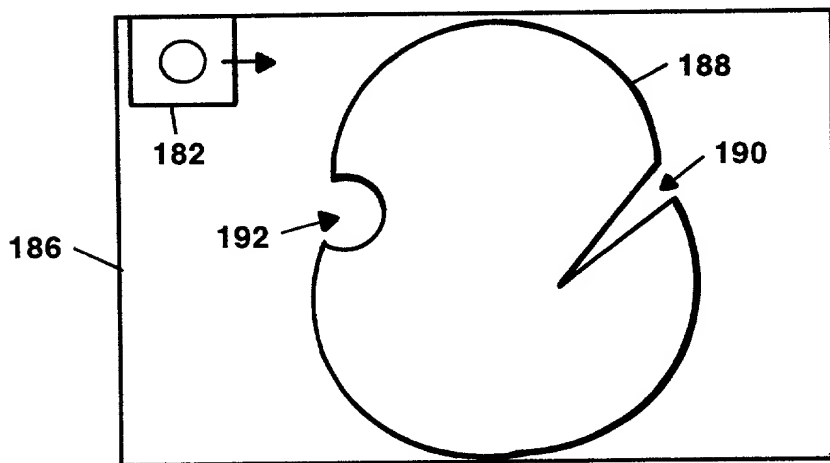


FIG. 9B

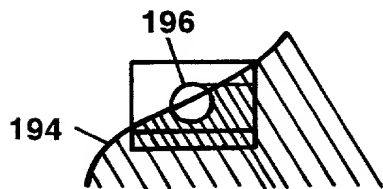


FIG. 9C

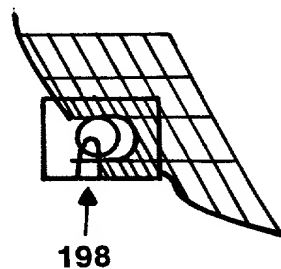


FIG. 9D

FIG. 9E

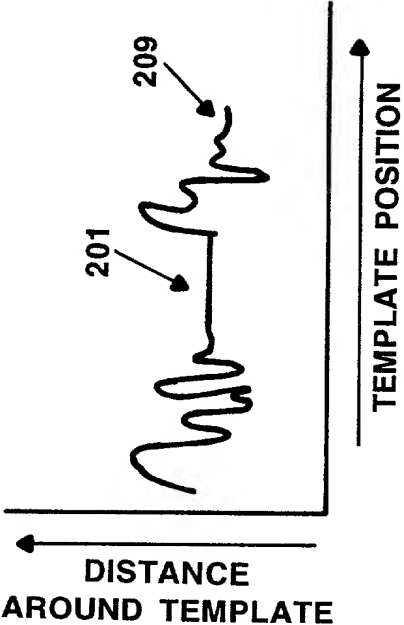


FIG. 9G

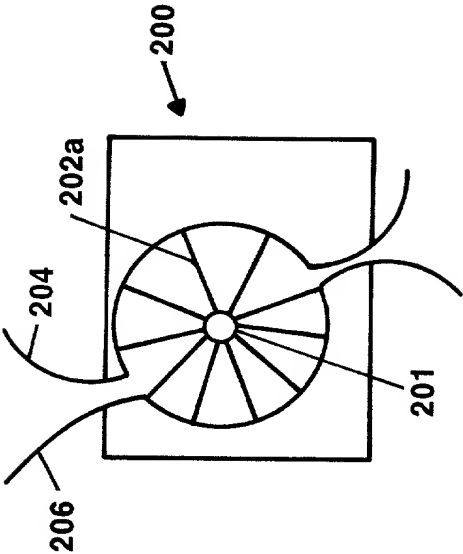


FIG. 9F

